

3N Freiheitsgrade:
($n = 1, \dots, 3N$)

$$x = (x_1, x_2, x_3, \dots, x_{3N-2}, x_{3N-1}, x_{3N}) \in \mathbb{R}^{3N}$$

R Zwangsbedingungen:

$f = 3N - R$ Freiheitsgrade

$$g_\alpha(x, t) = 0, \quad (\text{definiert } R \text{ Hyperflächen}) \quad (1)$$

$\alpha = 1, \dots, R$

Ansatz für Zwangskraft
(in \hat{e}_n -Richtung):
($n = 1, \dots, 3N$,
 $\alpha = 1, \dots, R$)

$$\hat{z}_\alpha^n = \lambda_\alpha(t) \frac{\partial}{\partial x_n} g_\alpha(x, t), \quad \hat{z}_\alpha \perp (HF)_\alpha \quad (2)$$

(9.2) eingesetzt in N2:

$$m_n \ddot{x}_n = K_n + \underbrace{\lambda_\alpha(t) \frac{\partial}{\partial x_n} g_\alpha(x, t)}_{(LG1)}, \quad n = 1, \dots, 3N \quad (3)$$

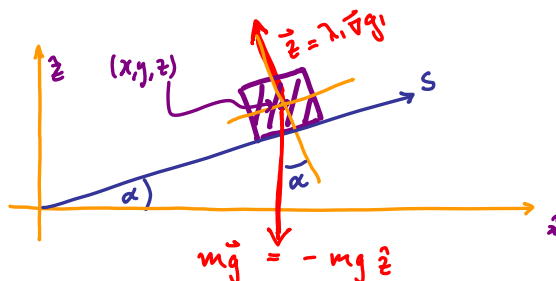
1. Formulierung der ZB
2. Aufstellung der LG1
3. Eliminierung der λ_α
4. Lösung der Bewegungsgl. für $x_n(t)$
5. Bestimmung der Integrationskonstanten
6. Bestimmung der Zwangskräfte, via
7. Diskussion !!

$\hat{z}_\alpha = \hat{z}_\alpha(x, \dot{x}, t)$ nach Eliminierung
der Parameter λ_α

v_n^0, x_n^0

Beispiel 1: Reibungsfreies Gleiten auf schiefer Ebene (Zusammenfassung)

Ignoriere \hat{y} -Richtung,
d trivial; betrachte
nur $x-z$ -Ebene



$$\frac{z}{x} = \frac{\sin \alpha}{\cos \alpha}$$

Schritt 1:
(Formulierung der ZB)

$$g_1(\vec{r}, t) = x \sin \alpha - z \cos \alpha = 0 \quad (1)$$

Schritt 2:
(Aufstellung der LG1)

$$m \ddot{x}_n = K_n + \sum_a \lambda_a \partial_n g_a$$

$$m \ddot{x} = \lambda_1 \sin \alpha \quad (2a)$$

$$m \ddot{z} = -mg - \lambda_1 \cos \alpha \quad (2b)$$

Schritt 3:
(Elimination v. λ_α)

$$0 = \frac{d^2}{dt^2} g_1 = \ddot{x} \sin \alpha - \ddot{z} \cos \alpha \quad (3)$$

(2) eingesetzt in (3):

$$\lambda_1 = -mg \cos \alpha \quad (4)$$

(20.4) in (20.2):
(Nun ist λ_1 eliminiert)

Schritt 4 und 5:
(Lösen der
Bewegungs-Gl. für x_n ,

Berücksichtigung der
Anfangsbedingung)

Schritt 6:
(Bestimmung der
Zwangskraft)
 $(z_1 = \lambda_1 \partial_n g_1)$

Schritt 7:
(Diskussion)

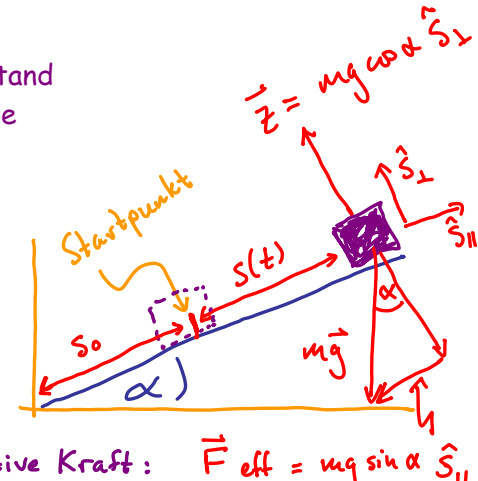
$$\begin{aligned} m\ddot{x} &= -m\tilde{g} \cos\alpha \\ m\ddot{z} &= -m\tilde{g} \sin\alpha \end{aligned} \quad (1)$$

$\tilde{g} = g \sin\alpha$
effektives g

$$\left. \begin{aligned} x(t) &= s(t) \cos\alpha \\ z(t) &= s(t) \sin\alpha \end{aligned} \right\} \text{mit } s(t) = -\frac{1}{2}t^2 \tilde{g} + v_0 t + s_0 \quad (2)$$

$$s(t) = \begin{cases} \text{zurückgelegter Abstand} \\ \text{entlang } \hat{s}_{||} \text{-Achse} \end{cases}$$

$$\vec{\Sigma}_1 = \frac{-(\vec{mg} \cdot \hat{s}_\perp)}{mg \cos\alpha} \hat{s}_\perp \quad (3)$$



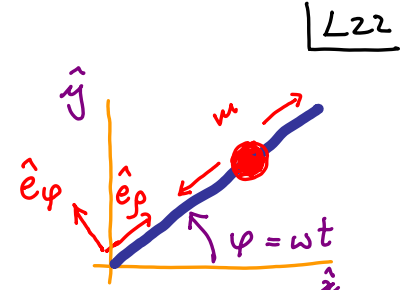
$s(t)$ ist "verallgemeinerte Koordinate",
d.h. ein Freiheitsgrad, der Zwangsbedingungen bereits berücksichtigt.
Die entsprechende Bewegungsgleichung ist einfach: $m\ddot{s} = -m\dot{g}_{\text{eff}}$ (4)

Beispiel 2: Reibungloser Massenpunkt rotierender Stange

(zum Selbststudium; siehe Fließbach, Kapitel 8)

Schritt 1:
(Formulierung der ZB)

$$g(\varphi, t) = \varphi - \omega t = 0 \quad (1)$$



Schritt 2:
(Aufstellung der LG1)

$$m\ddot{r} = \lambda \bar{g} \quad (2)$$

in Polarkoordinaten:

$$\begin{aligned} x &= \rho \cos\varphi \\ y &= \rho \sin\varphi \end{aligned}$$

$$\begin{aligned} \hat{e}_\rho^{(t)} &= \cos\varphi \hat{e}_x + \sin\varphi \hat{e}_y \\ \hat{e}_\varphi^{(t)} &= -\sin\varphi \hat{e}_x + \cos\varphi \hat{e}_y \end{aligned}$$

$$\vec{r} = x \hat{x} + y \hat{y}$$

(3), (4) in (2):

$$\begin{aligned} \lambda \bar{g} &= \lambda \left[\hat{e}_\rho \frac{\partial}{\partial \rho} + \hat{e}_\varphi \frac{1}{\rho} \frac{\partial}{\partial \varphi} \right] g \\ &\stackrel{(1)}{=} 0 + \hat{e}_\varphi \lambda / \rho \end{aligned} \quad [\text{Gradient in Polarkoordinaten}] \quad (3)$$

$$m\ddot{r} = m \left[(\ddot{\rho} - \rho \dot{\varphi}^2) \hat{e}_\rho + (\rho \ddot{\varphi} + 2\dot{\rho}\dot{\varphi}) \hat{e}_\varphi \right] \quad (4)$$

(5a)

$$\text{Koeff. v. } \hat{e}_\rho : m(\ddot{\rho} - \rho \dot{\varphi}^2) = 0$$

(5b)

$$\text{Koeff. v. } \hat{e}_\varphi : m(\rho \ddot{\varphi} + 2\dot{\rho}\dot{\varphi}) = \lambda / \rho$$

Schritt 3:
(Elimination v. λ_α)

$$\frac{d^2}{dt^2} (z_3) = 0 \Rightarrow \ddot{\varphi} = 0$$

L23

(1)

(20.1) in (19.5b):

$$\lambda = z_m \rho \dot{\varphi} - \lambda(\rho, \dot{\varphi}, \varphi, \dot{\varphi}, t) \quad (2)$$

Funktionale Abhängigkeit nun bekannt!

Bewegungsgl. aufstellen:

$$(22.5a) \rightarrow \cancel{\lambda(\ddot{\rho} - \rho \dot{\varphi}^2)} = 0 \quad (3a)$$

(2) in (22.5):

$$(22.5b) \rightarrow m \rho \ddot{\varphi} = 0 \quad (3b)$$

Schritt 4 + 5:

(Lösen der Bewegungs-Gl.,
Best. d. Integrations-
konstanten):

$$(3a) : \rho(t) = 0 \quad (\text{ist triviale, instabile Lösung}) \quad (4)$$

Für $\rho(t) \neq 0$:

$$(1) \text{ integriert: } \varphi(t) = At + B \stackrel{(1)}{=} \omega t \quad (5a)$$

$$A = \omega, \quad B = 0 \quad (5b)$$

(23.5) eingesetzt in
Bwgs-Gl (23.3a):

$$\ddot{\rho} - \rho \omega^2 = 0 \quad (1)$$

L24

Lösungsansatz:

$$\rho(t) \propto e^{\kappa t} \Rightarrow (\kappa^2 - \omega^2) e^{\kappa t} = 0 \quad (2)$$

$$\Rightarrow \kappa = \pm \omega \quad (3)$$

Allgemeine Lösung:

$$\rho(t) \stackrel{(2)}{=} \tilde{A} e^{\omega t} + \tilde{B} e^{-\omega t} \quad (4)$$

\tilde{A}, \tilde{B} sind bestimmt durch
Anfangsbedingungen:

$$\rho(0) = \tilde{A} + \tilde{B}, \quad \dot{\rho}(0) = \omega(\tilde{A} - \tilde{B}) \quad (5)$$

(5)

Lösen nach \tilde{A}, \tilde{B}

$$\begin{cases} \tilde{A} \\ \tilde{B} \end{cases} = \frac{1}{2} [\rho(0) \pm \dot{\rho}(0)/\omega] \quad (6)$$

(6)

Schritt 6:
(Bestimmung der
Zwangskräfte)

$$\vec{z} = \lambda \vec{v}_g \stackrel{(22.3)}{=} \hat{e}_\varphi \lambda / \rho \stackrel{(23.2)}{=} \hat{e}_\varphi z_m \rho \dot{\varphi} \quad (7)$$

(7)

$$\vec{z} = \hat{e}_\varphi z_m \omega [\tilde{A} e^{\omega t} - \tilde{B} e^{-\omega t}] \quad (8)$$

(8)

[ZK immer \perp zur Bewegung]

[nicht-triviale t-Abhängigkeit: $Z = Z(t)$!]

Vorausblick:

Oft sind wir nicht an der genauen Form der Zwangskraft interessiert.

In solchen Fällen ist es geschickter, neue "verallgemeinerte Koordinaten"

zu wählen, die die Zwangsbedingungen automatisch erfüllen, und eine Transformation von
Cartesischen zu verallgemeinerten Koordinaten durchzuführen.

$$(x_1, \dots, x_{3N}) \rightarrow (q_1, \dots, q_f), f = \text{Anzahl Freiheitsgrade} \quad (1)$$

Aber: Newton 2 ist nicht "forminvariant" unter Transformation zu anderen
Koordinatensystemen. (Das ist kein Problem an sich, aber lästig, unästhetisch).

*ZB: $F = -\nabla U$, gilt nicht immer für verallg. Koord.,
d.h. wenn $\nabla = (\partial_{q_1}, \partial_{q_2}, \dots, \partial_{q_f})$* (2)

Wünschenswert wäre eine alternative Formulierung der Newtonschen Bewegungsgleichungen,
die "forminvariant" unter solchen Transformationen ist. $\frac{d}{dt} \left(\frac{\partial L}{\partial \dot{x}_i} \right) = \frac{\partial L}{\partial x_i}, i=1, \dots, 3N$ (3)

Satz: N2 sind äquivalent zu "Lagrange-Gl. 2. Art" (L2):

$$\text{Lagrange-Funktion: } L = T - U$$

Kinetische, potenzielle Energie

Satz: L2 sind forminvariant:

für verallgemeinerte Koordinaten gilt:

$$\frac{d}{dt} \left(\frac{\partial L}{\partial \dot{q}_i} \right) = \frac{\partial L}{\partial q_i}, i=1, \dots, f \quad (4)$$

Im folgenden:

- Newton 2 umschreiben in Lagrange 2, in Cartesischen Koordinaten, ohne ZB

- Beispiele für Verallgemeinerte Koordinaten und Gebrauch von L2 (verallgemeinert)

Lagrange-Gleichungen 2.ter Art (in Cartesischen Koord., ohne ZB)

$$3N \text{ Freiheitsgrade: } x(t) = (x_1(t), \dots, x_{3N}(t)) \quad (1)$$

N2 ohne ZB mit
konservativem Kraftfeld:

$$m_n \ddot{x}_n = F_n = -\frac{\partial}{\partial x_n} U(x_1, \dots, x_{3N}) \quad n=1, \dots, 3N \quad (2)$$

$$\uparrow = T = T(\dot{x}_1, \dots, \dot{x}_{3N})$$

Linke Seite lässt sich auch schreiben als: $\frac{d}{dt} \left[\frac{\partial}{\partial \dot{x}_n} \left(\sum_{k=1}^{3N} \frac{1}{2} m_k \dot{x}_k^2 \right) \right] \stackrel{\text{check}}{=} \frac{d}{dt} [m_n \ddot{x}_n] = m_n \ddot{x}_n \quad (3)$

$$\frac{\partial}{\partial y_n} \left(\sum_k m_k y_k^2 \right) = \sum_k m_k y_k \delta_{kn} = m_n y_n$$

$$(3) \text{ in (2): } \frac{d}{dt} \left[\frac{\partial}{\partial \dot{x}_n} T \right] = -\frac{\partial}{\partial x_n} U \quad (4)$$

Funktion von $2 \times 3N$ Variablen

Def: Lagrange-Funktion: $L(x_1, \dots, x_{3N}; \dot{x}_1, \dots, \dot{x}_{3N}) = T - U$ (5)

$$\frac{\partial}{\partial x_n} U = 0; \frac{\partial}{\partial \dot{x}_n} T = 0$$

Lagrange-Gl. 2. Art:

$$\frac{d}{dt} \left[\frac{\partial}{\partial \dot{x}_n} L \right] \stackrel{(4)}{=} \frac{\partial}{\partial x_n} L \quad "(L2)" \quad (6)$$

Vorteil: gilt auch für verallgemeinerte Koordinaten und in Gegenwart von Zwangskräften!!

Transformation zu Verallgemeinerten Koordinaten

L27

Oft lässt sich ein Problem durch geschickte Wahl neuer Koordinaten vereinfachen. Beispiele:

- Polarkoordinaten für rotationssymmetrisches Problem in 2D;
- Zylinderkoordinaten für zylindersymmetrisches Problem in 3D;
- Kugelkoordinaten für rotationssymmetrisches Problem in 3D;
- falls Zwangsbedingung (ZB) vorhanden, durch Koordinaten, welche ZB automatisch erfüllen.

Wir betrachten folglich Transformation von Cartesischen zu "verallgemeinerten Koordinaten".

$$\boldsymbol{x} = (x_1, \dots, x_{3N}) \rightarrow \boldsymbol{q} = (q_1, \dots, q_F)$$

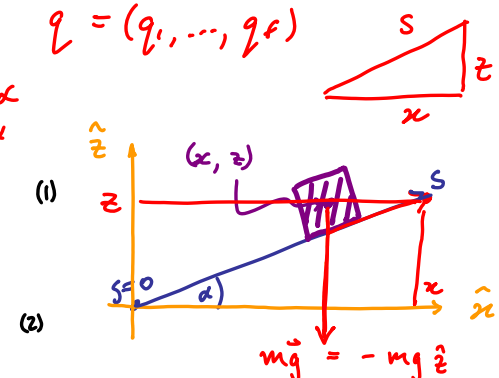
$$ZB = \frac{z}{x} = \frac{\sin \alpha}{\cos \alpha}$$

Beispiel 1: Schiefe Ebene

Entlang Ebene gilt: Ansatz: $\begin{cases} x = s \cos \alpha \\ z = s \sin \alpha \end{cases} \quad (\alpha = \text{fest})$

Check ZB: $\frac{\dot{z}}{\dot{x}} = \frac{\dot{s} \sin \alpha}{\dot{s} \cos \alpha} = \frac{\sin \alpha}{\cos \alpha}$

Verallgemeinerte Koordi: $q_1 = s = s(t)$



Geschwindigkeiten:

$$\dot{x}_n = \frac{dx_n}{dt}, \quad \dot{s} = \frac{ds}{dt}$$

$$\dot{x} = \dot{s} \cos \alpha$$

$$\dot{z} = \dot{s} \sin \alpha$$

$$\dot{x}^2 + \dot{z}^2 = \dot{s}^2 (\underbrace{\cos^2 \alpha + \sin^2 \alpha}_{=1}) \quad (3)$$

Kinetische Energie:

$$T(x, y) = \frac{1}{2} m (\dot{x}^2 + \dot{z}^2) \stackrel{(27.3)}{=} \frac{1}{2} m \dot{s}^2 = T(\dot{s}) \quad L28$$

Potentielle Energie:

$$U(x, z) = mg z \stackrel{(27.1)}{=} mg \underbrace{\sin \alpha}_{\tilde{g}} s = m \tilde{g} s \quad (4)$$

Lagrange-Funktion:

$$L = T - U \stackrel{(3,4)}{=} \frac{1}{2} m \dot{s}^2 - m \tilde{g} s = L(s, \dot{s}) \quad (5)$$

Behauptung:

$$\frac{d}{dt} \left[\frac{\partial L}{\partial \dot{q}_i} \right] \stackrel{(25.6)}{=} \frac{\partial L}{\partial q_i}$$

(L2) für $q_1 = s$:

$$\frac{d}{dt} \left[\frac{\partial L}{\partial \dot{s}} \right] = \frac{\partial L}{\partial s} \quad (6)$$

Gewünschte Bewegungsgl.
für verallgemeinerte Koord:

$$\frac{d}{dt} [\gamma \dot{s}] = - \gamma \tilde{g} \quad \left\{ \begin{array}{l} (5) \\ (6) \end{array} \right.$$

$$\ddot{s} = - \tilde{g} \quad (7)$$

$= (21.4) \checkmark$

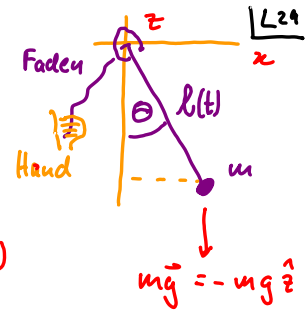
Lösung:

$$s(t) = -\frac{1}{2} \tilde{g} t^2 + v_0 t + s_0 \quad = (21.2) \quad (8)$$

Beispiel 2: Ebenes Pendel

$$x_1 = x, x_2 = z$$

$$\begin{aligned} x &= l \sin \theta & \left[\text{Länge } l(t) \text{ sei} \right] \\ z &= -l \cos \theta & \underline{\text{vorgegeben}} \end{aligned} \quad (1)$$



Verallgemeinerte Kord:

$$q_1 = \theta \quad (\text{denn: } l(t) \text{ ist vorgegeben})$$

Geschwindigkeiten:

$$\begin{aligned} \dot{x}_u &= \frac{dx_u}{dt}, \\ \dot{l} &= \frac{dl}{dt}, \quad \dot{\theta} = \frac{d\theta}{dt} \end{aligned}$$

$$\dot{x} \stackrel{(1)}{=} l \sin \theta + l \cos \theta \dot{\theta} \quad (2a)$$

$$\dot{z} = -l \cos \theta + l \sin \theta \dot{\theta} \quad (2b)$$

$$\begin{aligned} \dot{x}^2 + \dot{z}^2 &= (l^2 \sin^2 \theta + 2l \sin \theta l \cos \theta \dot{\theta} + l^2 \cos^2 \theta \dot{\theta}^2) \\ &\quad + (l^2 \cos^2 \theta - 2l \cos \theta l \sin \theta \dot{\theta} + l^2 \sin^2 \theta \dot{\theta}^2) \\ &\stackrel{?}{=} \dot{l}^2 + l^2 \dot{\theta}^2 = (\text{tangentialgesch. in } \hat{\theta}\text{-Richtung}) \end{aligned} \quad (3)$$

Kinetische Energie:

$$T(x, z) = \frac{1}{2} m(\dot{x}^2 + \dot{z}^2) \stackrel{(3)}{=} \frac{1}{2} m(\dot{l}^2 + l^2 \dot{\theta}^2) = T(\theta) \quad (4)$$

(denn $l = \text{vorgegeben}$)

Potenzielle Energie:

$$U(x, z) = mgz \stackrel{(2a, 1)}{=} -mgl \cos \theta \quad (1)$$

Lagrange-Funktion:

$$L = T - U = \frac{1}{2} m(\dot{l}^2 + l^2 \dot{\theta}^2) + mgl \cos \theta = L(\theta, \dot{\theta}) \quad (2)$$

Behauptung:

$$\frac{d}{dt} \left[\frac{\partial L}{\partial \dot{q}_i} \right] \stackrel{(2c, 4)}{=} \frac{\partial L}{\partial q_i}$$

L_2 für $q_1 = \theta$:

[keine L_2 für l , da $l(t)$]
[vorgegebene Funktion ist]

L_2 gilt auch für verallg. Kordinaten (Satz 25.4)
(haben wir noch nicht gezeigt, wollen es zunächst illustrieren)

$$\frac{d}{dt} \left[\frac{\partial L}{\partial \dot{\theta}} \right] = \frac{\partial L}{\partial \theta} \quad (3)$$

$$\frac{d}{dt} \left[\gamma l^2 \dot{\theta} \right] \stackrel{(2)}{=} -\gamma g l \sin \theta \quad (4)$$

Gewünschte Bewegungsgl.
für verallgemeinerte Kord:

$$z \ddot{l} \dot{\theta} + l^2 \ddot{\theta} = -gl \sin \theta \quad \begin{array}{l} [\text{gl. für } \theta(t);] \\ [l(t) \text{ ist vorgegeben}] \end{array} \quad (5)$$

Für Pendel mit fester

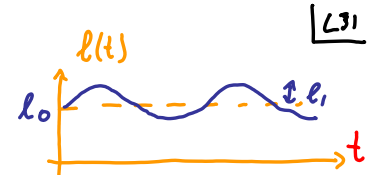
Länge: $l = l_0$, $\dot{l} = 0$:

$$\ddot{\theta} = -\left(\frac{g}{l_0}\right) \sin \theta \approx -\frac{g}{l_0} \theta \quad \begin{array}{l} [= \text{bekannte}] \\ [\text{Pendelgleichung}] \end{array} \quad (6)$$

Betrachte Pendel mit zeitlich oszillierender Länge:

$$\text{Sei: } l(t) = l_0(1 + \varepsilon \sin \omega t) \quad (1)$$

$$\dot{l}(t) = l_0 \varepsilon \omega \cos \omega t \quad (2)$$



(1), (2) in (30.5):

$$z \ddot{\theta} + \ddot{l} \ddot{\theta} + g \sin \theta = 0 : z \underbrace{l_0(1+\varepsilon \sin \omega t)}_{l} \underbrace{\dot{\theta}}_{\dot{\theta}} + \underbrace{l_0^2}_{l^2} \underbrace{\ddot{\theta}}_{\ddot{\theta}} + g \underbrace{l_0(1+\varepsilon \sin \omega t)}_{l} \sin \theta = 0 \quad (3)$$

für kleine Auslenkungen:

Für $\theta \ll 1$ und $\varepsilon \ll 1$ lässt sich Lösung $\theta(t)$ mittels Störungstheorie finden:

$$\text{Ansatz: } \theta(t) = \theta_0(t) + \varepsilon \theta_1(t) \quad (\text{Entwicklung in } \varepsilon) \quad (4)$$

(4) in (3):

$$\text{Terme } \sim \varepsilon^0 : \ddot{\theta}_0 + \frac{g}{l_0} \theta_0 = 0 \quad \begin{cases} \text{harmonischer Oszillatator mit} \\ \text{Frequenz } \omega_0 = \sqrt{g/l_0} \end{cases} \quad (5)$$

$$\text{Terme } \sim \varepsilon^1 : \varepsilon \left[\omega(\cos \omega t) \dot{\theta}_0 + (z(\sin \omega t) \ddot{\theta}_0 + \ddot{\theta}_1) + \frac{g}{l_0} ((\sin \omega t) \theta_0 + \theta_1) \right] = 0 \quad (6)$$

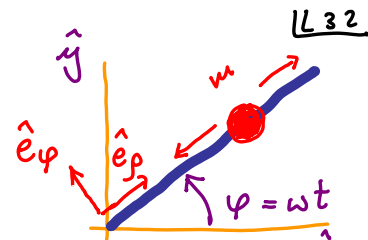
Zum selber rechnen: Bestimme $\theta_1(t)$! Hinweis: Lösung von (5) für $\theta_0(t)$ in (6) einsetzen.
 $\theta_1(t)$ ist getriebener harmonischer Oszillatator!

Beispiel 3: Reibungloser Massenpunkt rotierender Stange

$$x_1 = x, \quad x_2 = y \quad x = \rho \cos \varphi \quad \text{Vorgegeben:} \\ y = \rho \sin \varphi \quad \varphi = \omega t \quad (1)$$

$$\text{Verallgemeinerte Koord: } q_1 = \rho = \rho(t) \quad (2)$$

$$\text{Geschwindigkeiten: } \dot{x} = \dot{\rho} \cos \varphi - \rho \sin \varphi \dot{\varphi} \quad (1) \\ \dot{y} = \dot{\rho} \sin \varphi + \rho \cos \varphi \dot{\varphi} \quad (2) \quad \begin{matrix} \text{analog zu (29.2)} \\ (3) \end{matrix}$$



$$\dot{x}^2 + \dot{y}^2 = \dot{\rho}^2 + \rho^2 \dot{\varphi}^2 \quad \begin{matrix} \text{analog zu (29.3)} \\ (4) \end{matrix}$$

Lagrange-Funktion:

$$\text{Cartesischen Koord: } L(x, y; \dot{x}, \dot{y}) = T - U = \frac{1}{2} m (\dot{x}^2 + \dot{y}^2) - 0 \quad (5)$$

$$\text{in Polarkoordinaten: } L(\rho, \dot{\rho}) \stackrel{(4)}{=} \frac{1}{2} m (\dot{\rho}^2 + \rho^2 \dot{\varphi}^2) \quad (6)$$

Vergleiche mit (30.2) – dort hatten wir $L = L(\theta, \dot{\theta})$, hier $L = L(\rho, \dot{\rho})$.

Behauptung:

L₂ gilt auch für verallg. Koordinaten (Satz 25.6)
(haben wir noch nicht gezeigt, wollen es zunächst illustrieren)

L33

$$\frac{d}{dt} \left[\frac{\partial L}{\partial \dot{q}_i} \right] - \left(\frac{\partial L}{\partial q_i} \right) = 0 \quad (25.6)$$

$$L(\rho, \dot{\rho}) = \frac{1}{2} m (\dot{\rho}^2 + \rho^2 \dot{\varphi}^2) \quad (1)$$

L₂ für $q_1 = \rho$:

[keine L₂ für φ , da $\varphi(t)$
vorgegebene Funktion ist]

Gewünschte Bewegungsgl.
für verallgemeinerte Koord:

$$\frac{d}{dt} \left[\frac{\partial L}{\partial \dot{\rho}} \right] = \frac{\partial L}{\partial \rho} \quad (3)$$

$$\frac{d}{dt} [\cancel{\rho} \dot{\rho}] \stackrel{(2)}{=} \cancel{\rho} \dot{\rho} \dot{\varphi}^2 \quad (4)$$

↳ (32.1): $\dot{\varphi} = \omega$

$$\ddot{\rho} = \rho \omega^2 \quad \text{vergleiche (24.1)} \quad (5)$$

Lösung:

$$\rho(t) = \tilde{A} e^{wt} + \tilde{B} e^{-wt} \quad (6)$$

\tilde{A}, \tilde{B} folgen aus Anfangsbedingungen, siehe S. 23, 24.

Beispiel 4: 2-dimensionaler harmonischer Oszillator (ohne ZB)

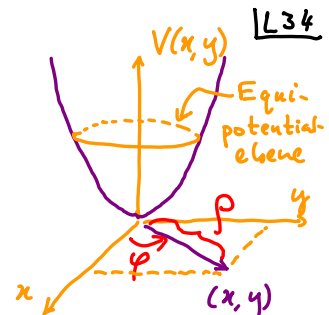
Potenziell:

$$U = \frac{1}{2} k(x^2 + y^2) \quad (1)$$

$$x_1 = x, \quad x_2 = y \\ q_1 = \rho, \quad q_2 = \varphi$$

$$x = \rho \cos \varphi \quad (2a)$$

$$y = \rho \sin \varphi \quad (2b)$$



Geschwindigkeiten:

$$\dot{x}_i = \frac{dx_i}{dt}, \quad \dot{q}_i = \frac{dq_i}{dt}$$

$$\begin{aligned} \dot{x} &= \dot{\rho} \cos \varphi - \rho \sin \varphi \dot{\varphi} \\ \dot{y} &= \dot{\rho} \sin \varphi + \rho \cos \varphi \dot{\varphi} \end{aligned}$$

[analog zu (29.2)] (3)

$$\dot{x}^2 + \dot{y}^2 = \dot{\rho}^2 + \rho^2 \dot{\varphi}^2 \quad \text{[analog zu (29.3)]} \quad (4)$$

Lagrange-Funktion:

Cartesischen Koord:

$$L(x, y; \dot{x}, \dot{y}) = T - U = \frac{1}{2} m (\dot{x}^2 + \dot{y}^2) - \frac{1}{2} k (x^2 + y^2) \quad (5)$$

↳ (4)

$$L(\rho, \varphi; \dot{\rho}, \dot{\varphi}) = T - U = \frac{1}{2} m (\dot{\rho}^2 + \rho^2 \dot{\varphi}^2) - \frac{1}{2} k \rho^2 \quad (6)$$

Behauptung: L₂ gilt nicht nur für: $q_1 = x, q_2 = y$ [haben wir schon gezeigt: (26.6)] L35

sondern auch für: $q_1 = \rho, q_2 = \varphi$ [das wollen wir jetzt für 2D-] Oszillator checken!

$$\frac{d}{dt} \left[\frac{\partial L}{\partial \dot{q}_i} \right] - \left(\frac{\partial L}{\partial q_i} \right) = 0 \quad L(\rho, \varphi; \dot{\rho}, \dot{\varphi}) \stackrel{(26.6)}{=} \frac{1}{2} m (\dot{\rho}^2 + \rho^2 \dot{\varphi}^2) - \frac{1}{2} k \rho^2 \quad (1)$$

$$(2) \text{ für } q_1 = \rho: \quad \frac{d}{dt} \left[\frac{\partial L}{\partial \dot{\rho}} \right] \stackrel{(25.4)}{=} \frac{\partial L}{\partial \rho} \quad (2)$$

Gewünschte Bewegungsgl. für $\ddot{\rho}$:

$$\underbrace{\frac{d}{dt} [m \dot{\rho}]}_{m \ddot{\rho}} \stackrel{(1)}{=} m \rho \dot{\varphi}^2 - k \rho \quad \begin{matrix} \text{werden wir gleich} \\ \text{checken} \end{matrix} \quad (3)$$

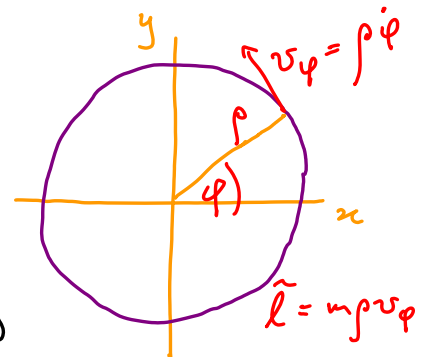
$$(2) \text{ für } q_2 = \varphi: \quad \frac{d}{dt} \left[\frac{\partial L}{\partial \dot{\varphi}} \right] \stackrel{(25.4)}{=} \frac{\partial L}{\partial \varphi} \quad (4)$$

Gewünschte Bewegungsgl. für $\ddot{\varphi}$:

$$\frac{d}{dt} [m \rho^2 \dot{\varphi}] \stackrel{(1)}{=} 0 \quad (5)$$

Drehimpulserhaltung!!

$$m \rho \dot{\varphi} \stackrel{(5)}{=} \tilde{l} = \text{Drehimpuls} \quad (6)$$



Check (33.3) mittels Nz:

Nz, Cartesisch:

$$U(x, y) \stackrel{(27.1)}{=} \frac{1}{2} k (x^2 + y^2)$$

Transformiere \ddot{x}, \ddot{y}

nach Polarkoordinat:

\rightsquigarrow

"Selber Nachrechnen!"

$$m \ddot{x} = F_x = - \frac{\partial U}{\partial x} \stackrel{(34.1)}{=} -kx \stackrel{(34.2)}{=} -k \rho \cos \varphi \quad (1a)$$

$$m \ddot{y} = F_y = - \frac{\partial U}{\partial y} \stackrel{(34.1)}{=} -ky \stackrel{(34.2)}{=} -k \rho \sin \varphi \quad (1b)$$

$$\ddot{x} \stackrel{(34.3)}{=} \ddot{\rho} \cos \varphi - z \dot{\rho} (\sin \varphi) \dot{\varphi} - \rho (\cos \varphi) \dot{\varphi}^2 - \rho (\sin \varphi) \ddot{\varphi} \quad (2a)$$

$$\ddot{y} \stackrel{(34.3)}{=} \ddot{\rho} \sin \varphi + z \dot{\rho} (\cos \varphi) \dot{\varphi} - \rho (\sin \varphi) \dot{\varphi}^2 + \rho (\cos \varphi) \ddot{\varphi} \quad (2b)$$

Hieraus folgt:

Es gilt also:

$$m (\cos \varphi \ddot{x} + \sin \varphi \ddot{y}) = \begin{cases} \underset{(1a)}{m (\ddot{\rho} - \rho \dot{\varphi}^2)} & \text{(einerseits)} \\ \underset{(1b)}{-k \rho (\cos^2 \varphi + \sin^2 \varphi)} & \text{(anderseits)} \end{cases} \quad (3a)$$

$$(3a) = (3b)$$

$$\underline{m (\ddot{\rho} - \rho \dot{\varphi}^2) = -k \rho} \quad \text{und NICHT } m \ddot{\rho} \neq F_p \quad (4)$$

bestätigt (35.3) ✓

(aber L₂ ist forminvariant)

Fazit: Bewegungsgleichung Nz ist nicht Forminvariant unter Transformation zu Polarkoordinaten !!